

УДК 532.546.013.3

КРАЙКО А. Н., МАХМУДОВ А. А.

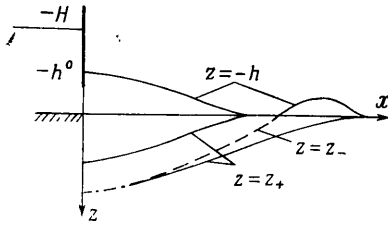
## РЕШЕНИЕ ДВУМЕРНОЙ НЕСТАЦИОНАРНОЙ ЗАДАЧИ ФИЛЬТРАЦИИ ЖИДКОСТИ В ПОРИСТЫЙ ГРУНТ В РАМКАХ МОДЕЛИ МГНОВЕННОГО НАСЫЩЕНИЯ

Рассматривается двумерная нестационарная задача фильтрации, описывающая полив проницаемого пористого грунта. Принимается, что однородный грунт занимает правую часть нижнего полупространства, а полив организуется открытием «задвигжки» над началом координат. Типична для такой задачи малость толщин слоев жидкости над границей раздела и в грунте по сравнению с их протяженностью в горизонтальном направлении. Вслед за [1] фильтрация жидкости в грунте рассматривается в рамках «модели мгновенного насыщения» (ММН), предполагающей мгновенное заполнение пор жидкостью и «связывание» части жидкости грунтом. При этом в отличие от действительного процесса проникновения жидкости в «капиллярные» поры в ММН он происходит мгновенно и характеризуется одним феноменологическим коэффициентом  $n \leq 1$ . Коэффициент  $n$  определяет долю порового пространства, не занятого «связанной жидкостью» (СЖ). Наряду с ней в грунте в согласии с известными идеями [2–5] при фильтрации в общем случае есть и «несвязанная жидкость» (НЖ). В ММН именно ее движение подчиняется закону Дарси (или его нелинейным аналогам) с коэффициентом фильтрации, описывающим взаимодействие НЖ с грунтом и СЖ. При каждом значении горизонтальной координаты течение внутри пористого грунта считается строго вертикальным, а нестационарный поток над ним описывается уравнениями теории мелкой воды с дополнительными слагаемыми, учитывающими отток жидкости в грунт. Обсуждаются условия истечения из щели, возникающей при поднятии задвигжки. В процессе полива в зависимости от предыстории и от наличия (или отсутствия) жидкости над границей грунта снизу к ней примыкает либо зона сухого грунта, либо зона полного насыщения, либо, наконец, зона частичного насыщения, в которой есть лишь СЖ, заполняющая определенную часть порового пространства (после прохождения заднего фронта зоны полного насыщения эта часть равна  $1-n$ ). В результате внутри грунта в общем случае возникает несколько подлежащих определению границ, разделяющих зоны разного насыщения. В отличие от тех известных моделей, в которых насыщение грунта учитывается через непрерывный рост «влажности» [5], в ММН в дополнение к общепринятым положениям «одножидкостной» теории фильтрации насыщенных грунтов изменяется лишь связь скорости «фронта насыщения» (ФН) со скоростью подходящей к нему НЖ. Возможности предлагаемого подхода иллюстрируются примерами расчета двукратного импульсного полива.

1. Пусть оси  $x$  и  $z$  декартовых координат ориентированы, как показано на фиг. 1: ось  $z$  направлена вниз по силе тяжести, характеризующей ускорением свободного падения  $g$ , а плоскость  $xu$  совпадает с горизонтальной границей однородного пористого грунта, занимающего полупространство  $z > 0$ . Ограничимся нестационарным плоскопараллельным течением, в котором параметры зависят от  $x$ ,  $z$  и времени  $t$ , а от нуля отличны только  $u$  и  $w$  — проекции скорости  $\mathbf{U}$  на оси  $x$  и  $z$ . Пусть далее  $\rho = \text{const}$  — истинная плотность жидкости, в том числе в грунте, где  $\rho$  отлична от «размазанной» плотности, часто используемой в многожидкостной механике сплошных сред (см. [6, 7]). Давление  $p$  будем отсчитывать от его постоянного уровня над свободной поверхностью:  $z = -h(x, t)$  и перед ФН:  $z = z_+(x, t)$ , где  $h(x, t)$  и  $z_+(x, t)$  — функции, определяемые в процессе решения. Левую границу исследуемой области совместим с сечением  $x=0$  и будем считать, что граница раздела при  $x < 0$  непроницаема для жидкости.

При  $t=0$  жидкость, отсутствовавшая до этого справа от левой границы, начинает поступать через «щель»:  $x=0, 0 > z > -h^0$ , в слой над грунтом, распространяясь вправо и одновременно фильтруясь в грунт. Поступление

жидкости через левую границу регулируется открывающейся и закрывающейся задвижкой. Перемещение задвижки определяется законом изменения  $h^\circ = h^\circ(t)$ , который предполагается известным. Уровень жидкости  $H$  слева от задвижки будем считать фиксированным. При заданном  $h^\circ(t)$  задача состоит в нахождении движения жидкости над границей раздела — при  $0 > z > -h(x, t)$  и под нею — при  $0 \leq z \leq z_+(x, t)$ , а после окончательного закрытия задвижки — в определении результата полива. Под последним понимается распределение СЖ в грунте после прекращения процесса фильтрации, что возможно только в непонтостью насыщенном грунте из-за «связывания» жидкости. В полностью насыщенном грунте слой фильтрующейся жидкости опускается, не изменяя своей толщины.



Фиг. 1

В рассматриваемых далее типичных для задач орошения случаях характерный масштаб течения в направлении переменной  $x$  много больше  $h$  и  $z_+$ . Исключение составляют окрестности гидравлических прыжков и щели, которые в данной модели считаются поверхностями разрыва. Если пренебрегать погрешностями, вносимыми в модель нарушением указанного соотношения масштаба  $x$  с  $h$  и  $z_+$  вблизи разрывов, то для потока над грунтом естественно воспользоваться приближением теории мелкой воды [8, 9] с добавлением в законы сохранения слагаемых, отвечающих фильтрации жидкости в грунт. Аналогично при описании фильтрации оправдано пренебрежение производной  $\partial p/\partial x$  и компонентой  $u$  вектора скорости. Так как  $\partial p/\partial x$  в грунте мала, то отличная от нуля на его границе компонента  $u$  для типичных коэффициентов фильтрации исчезает в слое толщины  $z \ll z_+$ .

Все переменные удобно считать безразмерными с  $L, \sqrt{L/g}, \sqrt{Lg}$ ,  $\rho$  и  $\rho g L$  в качестве масштабов длин, времени, скоростей, плотности и давления. Если в качестве  $L$  взять максимальную высоту щели, то безразмерные значения  $h$  и  $z_+$  для типичных времен полива будут величинами порядка единицы, а координата  $x$ , до которой распространяется жидкость, много больше единицы.

Пусть время, характеризующее изменение  $h^\circ$ , много меньше времени прохождения частицами жидкости близкой окрестности щели. В таких условиях для связи параметров в некотором сечении выравнивания истекающей из щели струи оправдано использование стационарного интеграла Бернулли. Если  $h_0 = h(0, t)$  — толщина слоя жидкости, а  $u_0 = u(0, t)$  — ее скорость в упомянутом сечении, то при  $h_0 \leq h^\circ$  в силу этого интеграла

$$u_0 = \sqrt{2(H - h_0)} \quad (1.1)$$

В дополнение к (1.1) на режимах «сверхзвукового истечения» (см. ниже)  $h_0$  связано с  $h^\circ$  равенством

$$h_0 = \beta(\pi_0) h^\circ, \quad \pi_0 = (H - h_0)/h_0 \quad (1.2)$$

с известным из теории струй идеальной жидкости коэффициентом поджатия  $\beta$ .

При сравнительно быстром закрытии щели и даже при ее открытии (если отток жидкости от левой границы и ее фильтрация в грунт недостаточно интенсивны) возможны ситуации с  $h^\circ < h_0$ . В таких случаях жидкость, поступающая из щели в нижнюю часть слоя, сначала разгоняется до скорости  $u_m$  в некотором «сечении  $m$ », а затем тормозится до скорости  $u_0$  в сечении выравнивания (в сечении  $m$  над струей, истекающей из щели и имеющей скорость  $u_m$  и высоту  $h_m$ , располагается практически застойная зона толщины  $h^m - h_m$ ). Пусть в сечении выравнивания, как и ранее,  $h = h_0$ . Тогда условия сохранения потоков массы и  $x$ -компоненты количества движения, записанные для слоя жидкости, ограниченного этим сечением и сечением  $m$ , и дополненные естественными предположениями о линейном распределении  $p$  поперек слоя, о квазистационарности потока и т. п., приводят к следующей системе соотношений, связывающих  $u_0, h_0, h^\circ$ , а также  $u_m, h_m$  и  $h^m$  в качестве некоторых «внутренних» переменных

$$h_m = \beta(\pi^m) h^\circ, \quad \pi^m = (H - h^m)/h^m, \quad u_m = \sqrt{2(H - h^m)} \quad (1.3)$$

$$h_0 u_0 = h_m u_m, \quad h_0^2 + 2h_0 u_0^2 = (h^m)^2 + 2h_m u_m^2$$

Здесь, как и в (1.2),  $\beta(\pi^m)$  — известная функция своего аргумента, а при получении  $u_m$ , как и в (1.1), использовался интеграл Бернулли. Система (1.3) справедлива при условии, что найденное из нее отношение  $h_0/h^0 > 1$ . При заданном  $h^0$  она связывает  $h_0$  и  $u_0$ . Если  $h^0 \rightarrow 0$ , то, согласно (1.3),  $h^m \rightarrow h_0$  и  $u_0 \rightarrow 0$ . В рассматриваемых далее задачах характерный масштаб по  $x$ , как уже отмечалось, много больше единицы. В таком масштабе размер начального выравнивающего участка пренебрежимо мал и поэтому условия (1.1)–(1.3) ставятся при  $x=0$ , где  $h$  и  $u$  приписывается нижний индекс нуль.

2. Нужные для последующего анализа интегральные законы сохранения массы и  $x$ -компоненты импульса в приближении теории малой воды имеют вид

$$\oint_{\gamma} (h dx - hu dt) = \iint_{\sigma} w_- dx dt$$

$$\oint_{\gamma} \left\{ hu dx - h \left( u^2 + \frac{h}{2} \right) dt \right\} = \iint_{\sigma} w_- u dx dt \quad (2.1)$$

где  $\sigma$  — произвольная площадка в плоскости  $xt$ , ограниченная контуром  $\gamma$ , а  $w_- = w_-(x, t)$  — вертикальная скорость над грунтом при  $z=0$ . В подобластях непрерывности  $u$  и  $h$  из (2.1) следуют дифференциальные уравнения, а на разрывах (гидравлических прыжках), движущихся со скоростью  $D$ , — условия

$$\frac{\partial h}{\partial t} + \frac{\partial (hu)}{\partial x} + w_- = 0 \quad (2.2)$$

$$\frac{\partial (hu)}{\partial t} + \frac{\partial}{\partial x} \left( hu^2 + \frac{h^2}{2} \right) + w_- u = 0$$

$$[h(u-D)] = 0, [2h(u-D)^2 + h^2] = 0 \quad (2.3)$$

В (2.3)  $[\varphi]$  — разность  $\varphi$  на разрыве.

Система (2.2), записанная в форме законов сохранения, допускает сквозной счет, например, по численным схемам, применявшимся в [10, 11]. При этом разрывы получаются как области непрерывного, но резкого изменения  $u$  и  $h$ . Параметры с разных сторон от зоны «размазанного» гидравлического прыжка с точностью до  $o(1)$  удовлетворяют условиям (2.3).

Для понимания того, какие условия следует ставить для системы (2.2) при  $x=0$ , существенно, что, будучи гиперболической, она сводится к двум характеристическим уравнениям

$$d^{\pm} I^{\pm} / dt = \mp w_- \sqrt{h}, \quad I^{\pm} = u \pm 2\sqrt{h} \quad (2.4)$$

$$(d^{\pm} / dt \equiv \partial / \partial t + (u \pm \sqrt{h}) \partial / \partial x)$$

Здесь  $I^{\pm}$  — инварианты Римана, а  $d^{\pm} / dt$  — полные производные по  $t$  соответственно вдоль  $c^{+}$ - и  $c^{-}$ -характеристик, на которых

$$c^{\pm}: dx/dt = u \pm \sqrt{h} \quad (2.5)$$

В (2.4) и (2.5) верхним (нижним) индексам отвечают верхние (нижние) знаки. Согласно (2.4) и (2.5),  $\sqrt{h}$  в теории мелкой воды (в размерной форме —  $\sqrt{gh}$ ) играет роль скорости звука в газовой динамике, а число Фруда  $Fr = u/\sqrt{h}$  — роль числа Маха. Именно в этом смысле истечение с  $Fr > 1$  было названо выше сверхзвуковым. По тем же соображениям, что и для течений газа, при  $Fr_0 > 1$  на левой границе следует задавать  $u_0$  и  $h_0$  или — две связи между этими параметрами. Требуемые связи дают равенства (1.1) и (1.2), выражающие  $u_0$  и  $h_0$  через  $h^0$ . Если  $Fr_0 < 1$ , то при  $x=0$  требуется одно условие, в качестве которого можно задать  $u_0$ ,  $h_0$  или любую их комбинацию, отличную от  $I_0^-$ . Для  $h_0 \leq h^0$  необходимая комбинация есть следствие (1.1), а при  $h_0 > h^0$  соответствующая связь, как уже отмечалось, получается из (1.3). При выполнении условия (1.1)  $Fr_0 = \sqrt{2(H-h_0)/h_0}$ . Поэтому  $Fr_0 < 1$ , если  $h_0/H \geq 2/3$ , и  $Fr_0 > 1$  при  $h_0/H < 2/3$ .

Изложенные выше соображения о постановке граничных условий, аналогичные известным правилам газовой динамики, справедливы до тех пор, пока при  $x=0$  не возникнет гидравлический прыжок или центрированная волна разрежения. В подобных случаях число условий, требующихся на левой границе, заранее не известно

и находится из решения задачи о распаде произвольного разрыва. Так, например, мгновенное закрытие щели в момент  $t=t_1$  в общем случае ведет к выполнению не двух условий:  $u_0=0$  и  $h_0=0$ , а лишь первого из них — условия непротекания. При этом у левой границы возникает центрированная волна разрежения, а  $h_0$  сразу после закрытия щели определяется условием сохранения  $I^-$ . Из этого условия видно, что при  $Fr_{01} > 2$ , где дополнительный индекс 1 приписан параметрам при  $x=0$  непосредственно перед закрытием щели, в окрестности этого сечения даже при отсутствии фильтрации ( $w_-=0$ ) возникает свободная от жидкости зона. Размер ее растет пропорционально  $t-t_1$ . В случае произвольных  $Fr_{01}$

$$h_0 = h_{01}(1 - Fr_{01}/2)^2, \quad Fr_{01} < 2; \quad h_0 = 0, \quad Fr_{01} \geq 2 \quad (2.6)$$

3. Для определения скорости  $w_-$ , необходимой для замыкания уравнений и условий (1.1)–(1.3), (2.1)–(2.6), к ним добавляются уравнения, описывающие фильтрацию жидкости в грунте. Рассматривая далее, как и в [1], задачи, в которых определяющим является неполное насыщение грунта, будем использовать модель, названную выше моделью мгновенно насыщения. В соответствии с ММН в грунте могут располагаться зоны сухого грунта (ЗСГ), зоны полного насыщения (ЗПН) и зоны частичного насыщения (ЗЧН). В ЗСГ жидкость, по определению, отсутствует полностью. В ЗПН она в общем случае движется, заполняя все свободное от «скелета» поровое пространство. Наконец, в ЗЧН движением фрагментов жидкости, которая, занимая лишь часть порового пространства, располагается на смачиваемых элементах скелета, в «капиллярных» порах [5] и т. п., можно пренебречь. Последнее обстоятельство позволяет считать жидкость в ЗЧН связанной, а свободную от нее часть порового пространства характеризовать коэффициентом  $n \leq 1$ . Таким образом, если обычный коэффициент пористости  $m < 1$  дает относительный объем пространства, не занятого сухим скелетом грунта (к последнему в принципе можно относить и так называемую «прочно связанную» жидкость [5]), то  $n$  вводится так, что относительный объем, занятый жидкостью в ЗЧН, равен  $(1-n)m$ . Согласно определению,  $n=1$  отвечало бы несмачиваемому грунту без капиллярных пор, а  $n=0$  — грунту, способному удерживать жидкость, заполняющую все поровое пространство.

При известном  $m$  минимальную величину  $n$  можно найти экспериментально по количеству жидкости, оставшейся после прохождения через образец грунта, достаточно толстого для завершения процесса намокания слоя жидкости. Хотя, как уже отмечалось, действительный процесс намокания, включающий проникновение жидкости в мелкие элементы грунта, требует конечного времени, в ММН предполагается, что он происходит мгновенно с определенным выше минимальным значением  $n$ , который наряду с  $m$  будем считать известной характеристикой грунта. Это, однако, не исключает возможности учета в рамках ММН разной степени насыщения грунта в ЗЧН. Например, в задачах орошения каждый новый полив проводится до полного высыхания грунта, что в ММН можно описать введением зон предварительного частичного насыщения (ЗПЧН). Присутствие остаточной связанной жидкости в них будем описывать коэффициентом  $n_0$ . В отличие от  $n$  коэффициент  $n_0 \geq n$  зависит от предыстории, т. е. от того, когда был предыдущий полив, как испарялась жидкость и т. д. Это тем не менее не мешает считать  $n_0$  известным, например, из специальных измерений состояния грунта. Как будет видно из дальнейшего, скорость ФН зависит от величины  $n_0$ . При прочих равных условиях она минимальна при распространении ФН по ЗСГ, которой отвечает  $n_0=1$ , и максимальна при движении ФН по ЗЧН, когда  $n_0=n$ .

В ММН с помощью того же считающегося известным коэффициента  $n$  вся жидкость в ЗПН разбивается на несвязанную подвижную (НЖ) и на связанную неподвижную (СЖ), которые занимают соответственно  $n$ -ю и  $(1-n)$ -ю части порового пространства. В предлагаемой версии ММН коэффициент  $n$  не зависит от скорости фильтрующейся жидкости, хотя его величина, по-видимому, должна расти с ее увеличением. При наличии экспериментальных данных это обстоятельство можно учесть в последующих модификациях модели. Пока же ограничимся ММН с постоянными  $m$  и  $n$ .

Итак, пусть в ЗПН движется только НЖ, причем, согласно сказанному ранее, в описывающих это движение уравнениях можно пренебречь  $x$ -компонентой вектора скорости и производной  $\partial p / \partial x$ . Тогда для несжимаемой жидкости, текущей в однородном грунте с  $m = \text{const}$  и  $n = \text{const}$ , уравнение неразрывности, как и в обычной (одножидкостной) модели, даст  $\partial w / \partial z = 0$  и, следовательно,

$$w = w(x, t) \quad (3.1)$$

Здесь и далее, как и в теории мелкой воды,  $w$  —  $z$ -компонента так называемой физической скорости. С учетом определения  $m$  и  $n$  для скорости над грунтом в силу условия сохранения на его границе потока массы

$$w_-(x, t) = mnw(x, t) \quad (3.2)$$

Пренебрежем далее, как это обычно делается в задачах рассматриваемого класса [5], производной  $\partial w / \partial t$ . Тогда  $z$ -проекция уравнения движения НЖ в размерных переменных примет вид

$$-(1/\rho)\partial p / \partial z + \partial(gz) / \partial z + mnf = 0 \quad (3.3)$$

В (3.3)  $f$  —  $z$ -компонента силы, действующей на НЖ со стороны грунта и СЖ. Предполагается, что  $f$  — известная функция  $w$ , а также физических свойств жидкости и грунта. Благодаря множителю  $mn$  перед  $f$  последняя имеет смысл силы, действующей на единицу массы НЖ. При малых и умеренных скоростях для  $f$  хорошо работает «закон Дарси» [2, 5], согласно которому

$$f = -gw / k \quad (3.4)$$

с коэффициентом фильтрации  $k$ . Коэффициент  $k$  имеет размерность скорости и определяется только физическими свойствами жидкости и грунта. После обезразмеривания уравнение (3.3) с  $f$  из (3.4) сведется к

$$\partial \varphi / \partial z - w / \kappa = 0 \quad (\varphi = p - z, \kappa = k / (mn\sqrt{g}L)) \quad (3.5)$$

Для типичных грунтов и  $L = 0,1 - 1$  м безразмерный параметр  $\kappa \ll 1$ .

В силу (3.4)  $w$  не зависит от  $z$ , что позволяет легко проинтегрировать уравнение (3.5). Если при данных  $x$  и  $t$  над грунтом присутствует слой жидкости, т. е.  $h(x, t) > 0$ , то, пренебрегая ее вертикальным ускорением и скачком  $p$ , вызванным втеканьем жидкости в грунт, найдем, что  $p(0, x, t) = h(x, t)$  и, следовательно

$$\varphi(0, x, t) = h(x, t) \quad (3.6)$$

Аналогично на ФН вне зависимости от того, движется он по ЗСГ, по ЗЧН или по ЗПЧН, в пренебрежении эффектом капиллярного скачка давления  $p = 0$  и поэтому

$$\varphi(z_+, x, t) = -z_+(x, t) \quad (3.7)$$

В процессе полива возникают ситуации, в которых после интервала времени с  $h > 0$  слой жидкости над грунтом исчезает. При этом в грунте образуется ЗЧН, отделенная от движущейся вниз и в общем случае утончающейся ЗПН ее задним фронтом  $z = z_-(x, t)$ . На нем также  $p = 0$  и, следовательно

$$\varphi(z_-, x, t) = -z_-(x, t) \quad (3.8)$$

В дальнейшем первую ситуацию ( $h > 0$ ) будем называть случаем *a*, а вторую ( $h = 0$ ) — случаем *б*. При произвольном поливе случаи *a* и *б* сменяют друг друга. Интегрируя (3.5) с учетом соответственно условий (3.6) и (3.7) или (3.7) и (3.8), получим

$$w = \kappa(h + z_+) / z_+, \quad w = \kappa \quad (3.9)$$

В рамках сделанных допущений равенства (3.9), как и исходные уравнения (3.3) — (3.5), тождественны известным из одножидкостной теории фильтрации [5]. Совпадают и определения коэффициента  $k$ . Отличие состоит лишь в замыкании (3.9), т. е. в установлении связи  $w$  со скоростью ФН  $D = \partial z_+ / \partial t$ . Эта связь является следствием условия сохранения потока жидкости, которое в движущейся со скоростью ФН системе координат в рамках ММН имеет вид

$$-m(1-n)D + m(1-n_-)D + mn(w-D) = 0 \quad (3.10)$$

Здесь  $n_-$  — значение  $n$  перед ФН. При распространении ФН по ЗСГ, ЗЧН и ЗПЧН соответственно имеем:  $n_- = 1$ ,  $n$  и  $n_0$ , где  $1 > n_0 > n$ . Согласно (3.10)

$$\partial z_+ / \partial t = D = nw / n_- \quad (3.11)$$

При  $n_- = n$  и 1 равенство (3.11) сводится к полученным в [1]. Наконец, подстановка (3.11) в (3.9) дает

$$\frac{\partial z_+}{\partial t} = \kappa \frac{n(h+z_+)}{n_- z_+}, \quad \frac{\partial z_+}{\partial t} = \frac{\kappa n}{n_-} \quad (3.12)$$

В рассматриваемых задачах слой жидкости над грунтом ограничен распространяющимся вправо передним фронтом, при приближении к которому одновременно стремятся к нулю  $h$  и  $z_+$ . Ввиду этого обстоятельства первое уравнение (3.12) при численном решении удобно заменить на

$$\partial \chi / \partial t = 2\kappa n(h + \sqrt{\chi}) / n_- \quad (\chi = z_+^2) \quad (3.13)$$

В случае  $b$  задний фронт ЗПН, над которым располагается ЗЧН, движется, как следует из справедливого и для него равенства (3.10) с  $n_- = n$ , со скоростью  $D = w$ , т. е. здесь, согласно (3.9)

$$\partial z_- / \partial t = w = \kappa \quad (3.14)$$

Если ФН распространяется по ЗСГ или по ЗПЧН, то  $n/n_- < 1$  и сравнение (3.14) и второго уравнения (3.12) указывает на линейное по времени уменьшение  $\Delta$  — толщины ЗПН

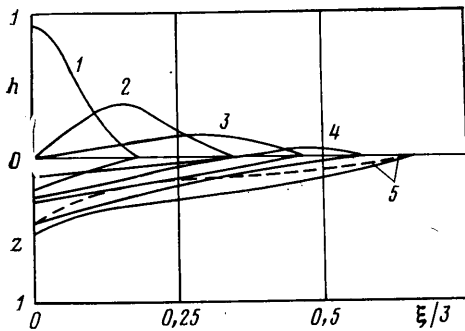
$$\Delta = z_+ - z_- = \Delta_0 - \kappa(n/n_- - 1)(t - t_0) \quad (3.15)$$

Здесь индекс ноль приписан значениям  $\Delta$  и  $t$  в начальный момент, под которым в данном случае понимается момент исчезновения (при данном  $x$ ) слоя жидкости над грунтом. Согласно последней формуле, задний фронт ЗПН догоняет передний при  $t = t_0 + \Delta_0 n_- / [(n - n_-)\kappa]$ . После этого в рамках ММН процесс фильтрации при данном  $x$  прекращается до нового появления жидкости над грунтом. Фильтрация этой жидкости до момента достижения новым ФН границы ЗЧН описывается уравнениями (3.9), (3.11) — (3.15) с  $n/n_- = 1$ . Заметим, кстати, что в случае  $b$ , согласно (3.15), толщина ЗПН при этом не изменяется, а сама она, как и в одножидкостной теории фильтрации, опускается вниз с постоянной скоростью.

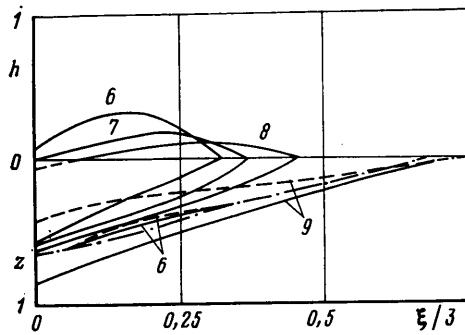
Итак, для любого  $h(x, t) \geq 0$  можно по (3.12) и (3.13) найти  $z_+(x, t)$ , а, зная  $z_+$ , при  $h > 0$  по первому уравнению (3.9) и (3.2) — скорости  $w(x, t)$  и  $w_-(x, t)$ . Последняя в свою очередь замыкает систему уравнений и условий теории мелкой воды, определяющих  $h(x, t)$  и  $u(x, t)$ . Если в выписанных выше уравнениях и условиях перейти к новым переменным

$$\tau = \kappa t, \quad \xi = \kappa x, \quad w^\circ = w / \kappa, \quad w_-^\circ = w_- / \kappa \quad (3.16)$$

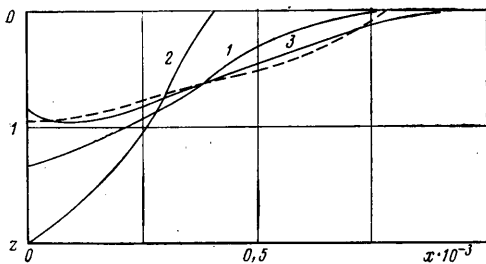
а  $h$ ,  $z$  и  $u$  оставить прежними, то из них исчезнет безразмерный коэффициент фильтрации  $\kappa$ , а время  $t$  войдет лишь в закон регулирования щели. Следовательно, для случаев разных грунтов с фиксированными  $m$ ,  $n$ ,  $n_0$



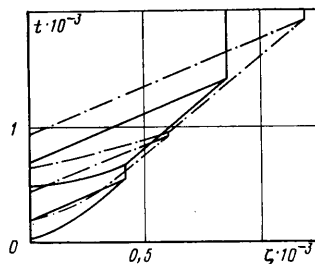
Фиг. 2



Фиг. 3



Фиг. 4



Фиг. 5

и одинаковым (в зависимости от  $\tau$ , а не от  $t$ ) законом изменения высоты щели

$$h^{\circ} = h^{\circ}(\tau) \quad (3.17)$$

в новых переменных имеет место подобие течений. Переменные (3.16) удобны для представления результатов и при нарушении условия подобия (3.17).

4. Возможности ММН иллюстрируют представленные на фиг. 2–5 результаты расчетов так называемого «импульсного» полива. Последний определяется последовательностью интервалов полностью открытой ( $h^{\circ} = \text{const} > 0$ ) и полностью закрытой ( $h^{\circ} = 0$ ) задвижки, причем в приводимых примерах ее открытие (при  $t=0$  и  $t=t_2$ ) и закрытие (при  $t=t_1 < t_2$  и  $t=t_3 > t_2$ ) считались мгновенными. Результаты, приводимые на фигурах, получены для  $m=0,5$ ,  $n=0,5$  и  $n_0=1$ . В согласии с (3.16) и (3.17), в данном примере условие подобия сводится к постоянству  $\tau_i = \kappa t_i$  с  $i=1, 2, 3$ .

Уравнения теории мелкой воды интегрировались по схеме SHASTA (см. [10, 11]), а уравнение (3.13), записанное для каждого узла используемого при этом разбиения по  $x$ , в котором в рассматриваемый момент  $h > 0$ , — по схеме Эйлера с пересчетом.

Истечение из открытой щели определялось значениями  $\pi_0 = (H - h_0)/h_0 = 0,62$ ,  $\text{Fr}_0 = \sqrt{2}\pi_0 = 1,11$  и, следовательно, было сверхзвуковым. За масштаб длины  $L$  было взято размерное значение высоты в сечении выравнивания (при открытой щели), в силу чего  $h_0 = 1$ , а  $u_0 = \text{Fr}_0$ . Сразу после закрытия щели, согласно (2.6),  $h_0 \approx 0,2$ . Для называемого далее основным вариантом с  $\kappa = \kappa_0 = 0,003$  значения  $\tau$  в моменты открытия и закрытия щели были равны:  $\tau_1 = 0,3$ ,  $\tau_2 = 1,35$  и  $\tau_3 = 1,65$ .

Фигуры 2 и 3 отвечают основному варианту и дают высоту слоя жидкости  $h(\xi, \tau)$  и положение фронтов  $z_+(\xi, \tau)$  и  $z_-(\xi, \tau)$  в разные моменты времени ( $h$  и  $z_+$  — сплошные, а  $z_-$  — штриховые кривые). Между цифрами у кривых и моментами времени  $\tau$  имеется соответствие:  $\tau=0,25$  (1); 0,5 (2); 0,75 (3); 1 (4); 1,35 (5); 1,8 (6); 2 (7); 2,1 (8) и 2,8 (9). Штрихпунктиром на фиг. 3, а также на фиг. 1 дано положение участков остановившихся ФН, возникших после первого и второго поливов.

На фиг. 4 кривые 1, 2 и 3 в зависимости от  $x$  показывают результаты полива, т. е. окончательное положение границ ЗЧН соответственно для  $\kappa = \kappa_0$ ,  $2\kappa_0$  и  $\kappa_0/2$ . В сравниваемых случаях фиксировались не  $\tau_i$ , а  $t_i$ , и, следовательно, условие подобия (3.17) не выполнялось. Штриховая кривая на фиг. 4 дает для  $\kappa = \kappa_0$  результат однократного полива (при  $0 \leq \tau \leq 0,6$ ) с тем же суммарным расходом жидкости. Наконец, на фиг. 5 при  $\xi = 0,6$  для двух из трех перечисленных выше случаев полива построены диаграммы  $\zeta t$ , где  $\zeta = 3z/\kappa$ , причем сплошные и штриховые кривые дают

траектории передних, задних и остановившихся фронтов соответственно для  $\kappa=2\kappa_0$  и  $\kappa_0/2$ . Использование  $\zeta$  и  $t$  на фиг. 5 позволило для  $\xi=\text{const}$  и при нарушении условия подобия (3.17) уменьшить «разброс» кривых.

В заключение подчеркнем, что, применяя ММН и теорию мелкой воды к решению двумерных задач, для которых не очень трудоемки и другие подходы (см., например, [12]), авторы преследовали более широкую цель. На примере таких задач они намеривались описать подход, в котором крайне просто переносятся на задачи орошения методы и результаты одножидкостной теории фильтрации, развитой для полностью насыщенных грунтов. Наибольший эффект от применения этого подхода естественно ожидать в пространственном случае, в котором теория мелкой воды по-прежнему сводит описание нестационарного течения по периодической системе борозд к одномерным уравнениям, а для решения двумерных (при каждом  $x$ ) уравнений ММН есть эффективный метод граничных элементов. Именно по указанной причине выше не учитывались такие эффекты, как трение в уравнениях теории мелкой воды и капиллярный перепад давления на ФН в ММН. Учет этих эффектов, а также пространственности задачи в целом необходим для выдачи конкретных рекомендаций по организации оптимального (в первую очередь по расходу воды) полива. Простота модели в подобных задачах определяет саму возможность их решения. Заметим, наконец, что применительно к задачам подземной гидродинамики ММН с точностью до обозначений идентична так называемой «поршневой модели» (см., например, [13]). В последней вместо физической скорости НЖ  $w$  используется скорость фильтрации, равная  $mnw$ , а вместо символа  $n$  — символ  $s$ .

Авторы признательны В. М. Ентову за полезные советы.

#### ЛИТЕРАТУРА

1. Крайко А. Н., Махмудов А. А. О моделировании нестационарной фильтрации тяжелой жидкости: Препринт № 168–88. Новосибирск: Ин-т теплофизики СО АН СССР, 1988. 30 с.
2. Лейбензон Л. С. Собр. тр. Т. 2: Подземная гидрогазодинамика. М.: Изд-во АН СССР, 1953. 554 с.
3. Веригин Н. Н. Движение влаги в почве // Докл. АН СССР. 1953. Т. 89. № 2. С. 229–232.
4. Веригин Н. Н. Промачивание почвы при орошении посредством дождевания // Докл. АН СССР. 1953. Т. 89. № 4. С. 627–630.
5. Полубаринова-Кочина П. Я. Теория движения грунтовых вод. М.: Наука, 1977. 664 с.
6. Нигматуллин Р. И. Основы механики гетерогенных сред. М.: Наука, 1978. 336 с.
7. Крайко А. Н. К двухжидкостной модели течений газа и диспергированных в нем частиц // ПММ. 1982. Т. 46. Вып. 1. С. 96–106.
8. Уивем Дж. Линейные и нелинейные волны: Пер. с англ. М.: Мир, 1977. 622 с.
9. Педлоски Дж. Геофизическая гидродинамика. Т. 1: Пер. с англ. М.: Мир, 1984. 400 с.
10. Махмудов А. А. Численное решение некоторых задач теории мелкой воды // Журн. вычисл. матем. и матем. физики. 1987. Т. 27. № 5. С. 788–791.
11. Махмудов А. А. Распространение метода SHASTA на численное решение двумерных нестационарных уравнений мелкой воды // Журн. вычисл. матем. и матем. физики. 1987. Т. 27. № 8. С. 1262–1266.
12. Akan A. O., Gen B. C. Mathematical model of shallow water flow over porous media // J. Hydraulics Division. Proc. Amer. Soc. Civ. Eng. 1981. V. 107. № 4. P. 479–494.
13. Kochina I. N., Mikhailov N. N., Filinov M. V. Groundwater mound damping // Int. J. Engineering Sci. 1983. V. 21. № 4. P. 413–421.

Москва

Поступила в редакцию  
17.VI.1988